

УДК 622.235

РАЗВИТИЕ СИСТЕМЫ ПЛОСКИХ РАДИАЛЬНЫХ ТРЕЩИН ПРИ ВЗРЫВЕ УДЛИНЕННЫХ ШПУРОВЫХ И СКВАЖИННЫХ ЗАРЯДОВ

Е. Н. Шер

Институт горного дела им. Н. А. Чинакала СО РАН, 630091 Новосибирск, Россия
E-mail: ensher@gmail.com

Разработаны численные схемы определения формы и размеров радиальных трещин, образующихся при камуфлетном взрыве удлиненных зарядов, расположенных в монолитном массиве породы на большой глубине и вблизи его поверхности. Исследовано влияние длины заряда на размеры радиальных трещин при камуфлетном взрыве. Определена величина недозаряда скважинного или шпурового заряда, при которой площадь радиальных трещин максимальна.

Ключевые слова: взрыв, скважинные заряды, шпуровые заряды, радиальные трещины, форма трещин, трехмерное моделирование.

DOI: 10.15372/PMTF20170520

При взрыве удлиненных шпуровых и скважинных зарядов в хрупкой монолитной горной породе основной объем разрушений приходится на зону радиальных трещин. Для оценки размеров и формы таких трещин, образующихся при взрыве удлиненного заряда, разработана программа расчета развития системы равномерно распределенных по углу плоских радиальных трещин. Рассмотрены случаи взрыва удлиненного заряда, расположенного на большой глубине и вблизи свободной поверхности.

В соответствии с зонными моделями взрыва [1–5] после детонации заряда вглубь породы от скважины распространяются упругая волна сжатия и за ней фронт волны дробления. По мере их распространения напряжения в упругой волне уменьшаются, и движение фронта волны дробления замедляется. При уменьшении скорости ее развития до значения, равного максимальной скорости распространения трещин, и при появлении растягивающих азимутальных напряжений возможно образование и развитие радиальных трещин. При этом фронт волны дробления останавливается и фиксируется радиальное смещение упругой среды на границе с раздробленной породой. Достигнутое на первом этапе взрыва расширение упругой среды в дальнейшем сохраняется вследствие сопротивления радиальному сжатию раздробленной породы, деформирующейся в соответствии с законом сухого трения. Такое расширение приводит к развитию в упругой зоне массива породы системы радиальных трещин. Поскольку окончательные размеры радиальных трещин при взрыве оказываются значительно больше радиуса зоны дробления, при моделировании полагается, что их развитие в упругом пространстве начинается с развития начальной радиальной

Работа выполнена при финансовой поддержке Российского фонда фундаментальных исследований (код проекта 14-05-00156).

© Шер Е. Н., 2017

системы N плоских трещин прямоугольной формы, примыкающих к оси заряда и имеющих поперечный размер l_0 , равный радиальному размеру зоны дробления. Предполагается, что берега этих трещин нагружены давлением p , обеспечивающим среднее раскрытие трещин d_0 , соответствующее смещению границы упругой зоны и зоны дробления, достигнутому на первом этапе взрывного разрушения. Для определения формы радиальных трещин на заключительной стадии их развития, которое происходит в динамическом режиме, рассматривается квазистатический процесс развития трещин при постепенном увеличении нагружающего давления p . Для того чтобы выявить возможность разрушения среды и развития трещины, на каждом шаге расчета, включая начальный, определяется напряженное состояние упругой среды вблизи фронта трещин.

Для расчета трехмерного напряженного состояния среды в упругом пространстве с радиальной системой равномерно распределенных по углу плоских трещин, нагруженных внутренним давлением, использовался метод разрывных смещений. Аналогичный метод для случая плоского деформирования разработан С. Краучем и А. Старфилдом [6] и в настоящее время используется как один из вариантов метода граничных элементов в механике твердого тела. В этом методе [7–9] поверхность трещины аппроксимируется совокупностью дислокационных петель C_k с неизвестными скачками смещений \mathbf{b}_k ($k = 1, 2, \dots, n$). Каждая такая петля C_k , ограничивающая поверхность S_k с постоянным скачком смещений \mathbf{b}_k , порождает в безграничном упругом пространстве деформационное поле, называемое полем дислокационной петли C_k с вектором Бюргерса \mathbf{b}_k [10]. Из таких полей складывается решение задачи о напряженном состоянии упругого пространства с трещинами. Для определения напряжений, порождаемых отдельным дислокационным элементом, ограниченным контуром Γ с координатами $(\xi(t), \eta(t), \zeta(t))$, в трехмерном случае используются формулы Пича — Келера [10]

$$\begin{aligned} \sigma_{xx} = & \frac{1}{4\pi} \oint_{\Gamma} d\xi \left[b_y \left(3L \frac{ZX^2}{R^5} - M \frac{Z}{R^3} \right) - b_z \left(3L \frac{YX^2}{R^5} - M \frac{Y}{R^3} \right) \right] + \\ & + d\eta \left[b_z \left(3L \frac{X^3}{R^5} - L \frac{X}{R^3} \right) - b_x \left(3L \frac{ZX^2}{R^5} + L \frac{Z}{R^3} \right) \right] + \\ & + d\zeta \left[b_x \left(3L \frac{YX^2}{R^5} + L \frac{Y}{R^3} \right) - b_y \left(3L \frac{X^3}{R^5} - L \frac{X}{R^3} \right) \right], \\ \sigma_{yz} = & \frac{1}{4\pi} \oint_{\Gamma} d\xi \left[b_y \left(3L \frac{YZ^2}{R^5} - L \frac{Y}{R^3} \right) - b_z \left(3L \frac{ZY^2}{R^5} - L \frac{Z}{R^3} \right) \right] + \\ & + d\eta \left[b_y \left(\mu \frac{X}{R^3} \right) + b_z \left(3L \frac{XYZ}{R^5} \right) - b_x \left(3L \frac{YZ^2}{R^5} - N \frac{Y}{R^3} \right) \right] + \\ & + d\zeta \left[b_z \left(-\mu \frac{X}{R^3} \right) + b_x \left(3L \frac{ZY^2}{R^5} - N \frac{Z}{R^3} \right) - b_y \left(3L \frac{XYZ}{R^5} \right) \right]. \end{aligned}$$

Здесь (ξ, η, ζ) — точки на контуре дислокации; R — расстояние между точкой наблюдения (x, y, z) и точкой контура; X, Y, Z — разность координат точки наблюдения и точки контура; b_x, b_y, b_z — компоненты вектора Бюргерса; L, M, N — параметры, определяемые упругими модулями Ламе:

$$L = \frac{2\lambda\mu + 2\mu^2}{\lambda + 2\mu}, \quad M = \frac{2\mu^2}{\lambda + 2\mu}, \quad N = \frac{\lambda\mu}{\lambda + 2\mu}.$$

Остальные компоненты тензора напряжений получаются путем циклической перестановки координат и компонент вектора Бюргерса. Векторы \mathbf{b}_k определяются из системы линейных

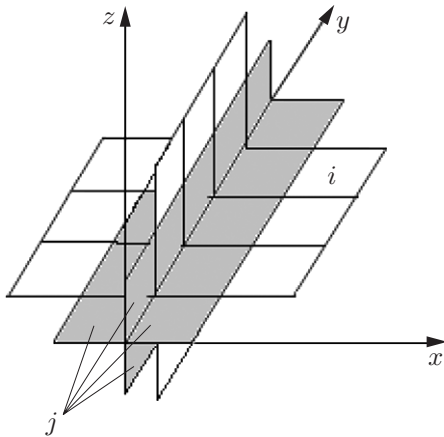


Рис. 1. Разбиение системы радиальных трещин на квадратные дислокационные элементы при $N = 4$:

заштрихованные элементы — элементы начальной конфигурации трещин с одинаковой величиной раскрытия

уравнений, составленной таким образом, чтобы на поверхности трещины выполнялись граничные условия в напряжениях.

Для упрощения задачи рассматривается случай развития системы радиальных трещин, состоящей из N плоских трещин одинаковой формы, распределенных равномерно по углу вокруг скважины. При нагружении берегов трещин нормальными усилиями (сдвиговые напряжения равны нулю) в такой конфигурации трещин поля смещений и напряжений характеризуются периодичностью по углу, при этом их особенностью является отсутствие сдвигов и сдвиговых напряжений в плоскостях, где располагаются трещины. Поэтому на берегах трещин сдвиги отсутствуют и имеет место только раскрытие. Вследствие этого в три раза уменьшается число неизвестных компонент вектора Бюргерса, соответствующих дислокационным площадкам, на которые разбиваются трещины. Значительное уменьшение числа неизвестных достигнуто также с учетом того, что все трещины имеют одинаковую форму и распределение величины раскрытия их берегов. В разработанной программе области трещины и неразрушенной среды в ее плоскости разбивались на квадраты с использованием квадратной сетки с шагом a . При расчетах коэффициентов влияния j -го квадрата на i -й нормальные напряжения на берегах трещин находились в центрах i -х квадратов в результате суммирования напряжений от N дислокационных элементов всех трещин, соответствующих по симметрии j -му квадрату (рис. 1). На рис. 1 показано разбиение системы трещин на квадратные элементы при $N = 4$. Заштрихованы дислокационные элементы начальной конфигурации трещин. К этим элементам приложено внутреннее давление, обеспечивающее их раскрытие, на остальных элементах давление равно нулю.

Для расчета развития трещин необходимо ввести критерий разрушения на кромке трещины, в качестве которого принимается критерий Новожилова. В соответствии с этим критерием развитие трещины происходит в тех областях, где осредненные по характерному размеру l_c растягивающие напряжения больше прочности среды на растяжение σ_c . Учитывая корневую особенность поведения напряжений вблизи кромки трещины, можно установить связь этого критерия с критерием Ирвина, в соответствии с которым развитие трещины происходит в случае, когда коэффициент интенсивности напряжений K_I (КИН) на кромке трещины больше его критического значения: $K_I \geq K_{Ic}$. При этом интервал осреднения l_c , представляющий собой параметр, характеризующий среду, выражается через критический КИН и прочность на растяжение: $l_c = (2/\pi)(K_{Ic}/\sigma_c)^2$. В расчетах принималось, что шаг сетки разбиения трещин $a = l_c$ и осредненные значения напряжений в неразрушенной среде на кромке трещины в ее плоскости равны напряжениям в центрах квадратов, окружающих ее.

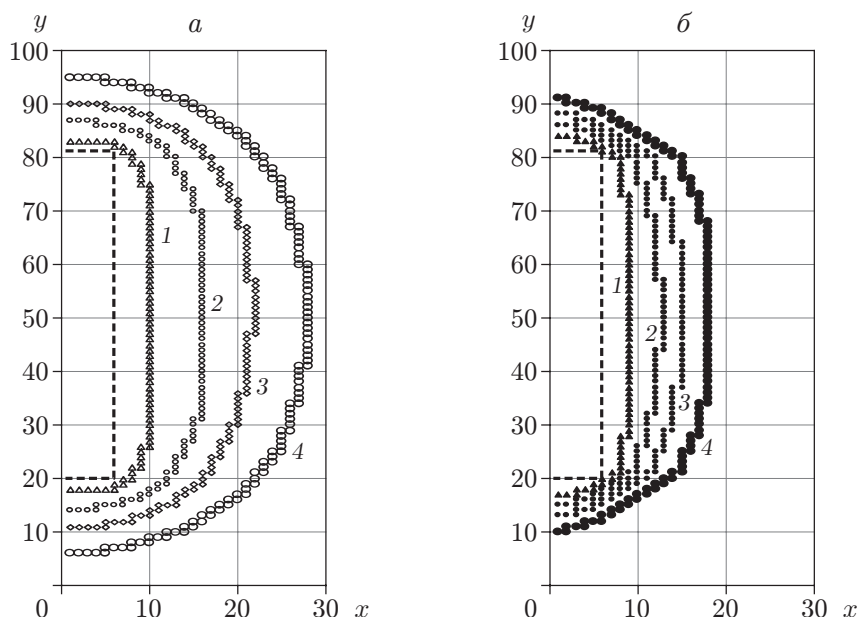


Рис. 2. Формы радиальных трещин, развивающихся из начальных прямоугольных трещин (штриховые линии) при постепенном увеличении давления:
 а — $N = 2$, б — $N = 8$; 1–4 — шаги нагружения

Расчет развития трещины проводился по шагам. На каждом шаге для заданной конфигурации трещины и нагружения вычислялись коэффициенты матрицы определяющей системы уравнений. В результате решения этой системы определялись значения величины раскрытия трещины. Рассчитывались напряжения в центрах квадратов, примыкающих к кромке трещины. Эти квадраты, в которых в соответствии с принятым критерием происходило разрушение, присоединялись к трещине. После определения новой формы трещины и корректирования параметров нагружения расчеты циклически повторялись. В результате определялась эволюция формы трещины при ее равновесном развитии под действием возрастающей нагрузки.

На рис. 2 в качестве примера приведены в безразмерном виде результаты расчетов развития радиальной трещины в плоскости (x, y) для систем из двух и восьми трещин. В качестве единицы длины принят шаг расчетной сетки.

Расчеты проводились при следующих значениях параметров: модуль Юнга $E = 3 \cdot 10^9$ Па, коэффициент Пуассона $\nu = 0,3$, прочность на растяжение $\sigma_c = 6 \cdot 10^7$ Па, шаг расчетной сетки $a = 10^{-2}$ м, поперечный размер начальных трещин $l_0 = 4 \cdot 10^{-2}$ м.

Сравнение форм трещин на рис. 2, а, б показывает, что при увеличении числа трещин в радиальной системе существенно уменьшаются их размеры при одинаковой суммарной величине раскрытия начальных трещин, которая задается взрывом на этапе интенсивного сдвигового дробления.

Помимо влияния числа радиальных трещин N исследовалось влияние параметров, характеризующих конструкцию шнурового заряда: его длины L , поперечного размера начальных трещин l_0 , принимаемого согласно выбранной модели равным радиусу зоны дробления удлиненного заряда, величины раскрытия начальных трещин d_0 , пропорциональной радиусу заряда и определяемой необратимым расширением зоны упругого деформирования горной породы, вызванным деформированием ее на этапе развития зоны дробления. Значения указанных параметров можно рассчитать по разработанным ранее в рамках зонной модели расчетным схемам определения разрушающего действия взрыва бесконечно длинного цилиндрического заряда в монолитной горной породе [5].

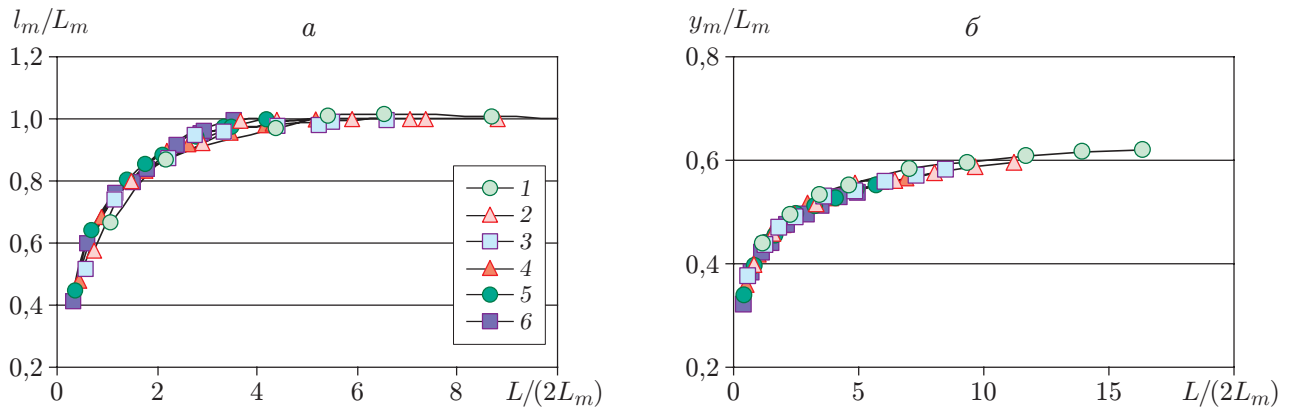


Рис. 3. Зависимости приращения поперечного (а) и продольного (б) размеров радиальных трещин от безразмерной длины заряда при различных значениях средней величины раскрытия начальных трещин:

1 — $d_0 = 0,3$, 2 — $d_0 = 0,4$, 3 — $d_0 = 0,5$, 4 — $d_0 = 0,6$, 5 — $d_0 = 0,7$, 6 — $d_0 = 0,8$

Анализ полученных данных показывает, что отдельные трещины радиальной системы в плане имеют форму полуовала, охватывающего полосу начальной трещины длиной L , расположенной вдоль оси заряда. При увеличении величины раскрытия начальных трещин, пропорциональной диаметру заряда при постоянной его длине, происходит переход от полуовальной формы трещины к форме полуокружности (см. рис. 2,а).

Поперечные размеры трещин зависят от длины заряда и величины раскрытия начальных трещин d_0 . При увеличении длины заряда поперечные размеры трещин стремятся к асимптотическому значению L_m , соответствующему бесконечно длинному заряду.

Установлено, что при выборе в качестве единицы длины предельного значения L_m зависимости максимального значения относительного приращения поперечного и продольного размеров трещины l_m/L_m и y_m/L_m от безразмерной длины заряда $L/(2L_m)$ слабо зависят от величины раскрытия d_0 (рис. 3). При этом с увеличением длины заряда выход на асимптотическое значение поперечного размера трещины L_m происходит при $L/(2L_m) = 3 \div 4$ (см. рис. 3,а). Заряды большего размера можно рассматривать в качестве бесконечно длинных.

На рис. 3 видно, что радиальная трещина, образуемая при взрыве шнурового заряда, в торцевом направлении вдоль его оси увеличивается в меньшей степени, чем в поперечном направлении. Это различие увеличивается с ростом длины заряда и при $L/(2L_m) > 5$ $y_m \approx 0,6L_m$ (см. рис. 3,б).

В случае когда удлиненный шнуровой или скважинный заряд заглублен относительно поверхности горной породы, при определении формы и размеров зоны радиальных трещин необходимо учитывать влияние этой поверхности. Для этого в упругое пространство (см. рис. 1) вдоль предполагаемой свободной поверхности (x, z) вводится свободная от нагрузок плоская трещина большого по сравнению с длиной заряда размера.

Для сохранения свойств симметрии радиальной системы трещин, образующихся при взрыве, разбиение дополнительной трещины в плоскости (x, z) проводится с учетом такой симметрии. При $N = 2, 4$ разбиение дополнительной трещины квадратной сеткой, ориентированной вдоль осей x и z , обладает необходимой симметрией. Пример такого разбиения трещины, моделирующей свободную поверхность, приведен на рис. 4. Элементы J_1, \dots, J_4 дополнительной трещины, расположенные симметрично относительно осей x и z , имеют значения компонент векторов Бюргерса, соответствующие этой симметрии, в частности одинаковые величины раскрытия вдоль оси y . Это позволяет уменьшить в четыре раза

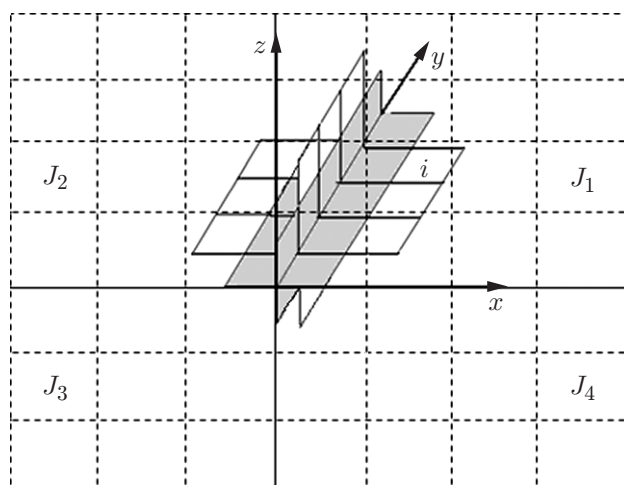


Рис. 4. Схема разбиения трещин на дислокационные элементы при $N = 4$

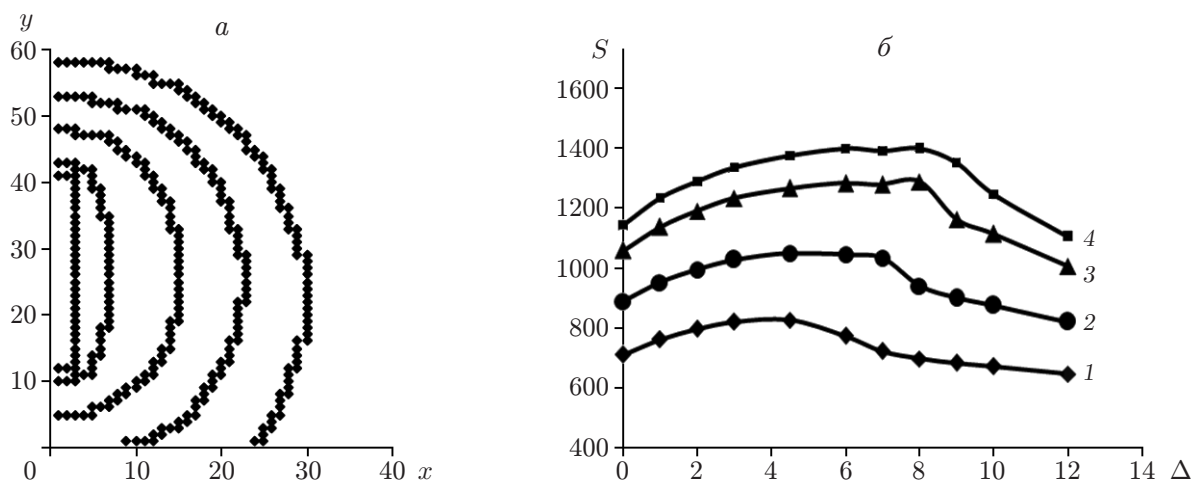


Рис. 5. Расчетная форма правой половины трещины ($N = 2$), образующейся при взрыве заряда длиной $l = 28$, расположенного в скважине с заглублением $\Delta = 12$ (а), и зависимость площади трещины от заглубления заряда Δ (б) при различных значениях средней величины раскрытия начальных трещин:

1 — $d_0 = 0,9$, 2 — $d_0 = 1,1$, 3 — $d_0 = 1,3$, 4 — $d_0 = 1,4$

число неизвестных при определении величины раскрытия элементов поверхностной трещины.

Решалась задача о развитии трещин при взрыве скважинного заряда, расположенного в скважине с заглублением относительно свободной поверхности, в случае $N = 2$. Начальная трещина располагалась вдоль оси y и считалась нагруженной пошагово увеличивающимся давлением, остальные элементы развивающейся трещины были свободны от нагружения. На рис. 5,а показаны в первом квадранте плоскости (x, y) формы радиальных трещин, образующихся при взрыве заряда длиной $L = 28$ с недозарядом $\Delta = 12$, при различных значениях величины раскрытия начальных трещин. Результаты расчетов размеров трещин и их площадей показывают, что существует заглубление, при котором площадь трещины максимальна. Это видно на рис. 5,б, где приведены зависимости площади трещины от заглубления при различных значениях величины раскрытия начальных трещин d_0 . Сравнение величины оптимального заглубления с асимптотическим

значением ширины трещины длинного заряда показывает, что оптимальное заглубление $\Delta_{opt} \approx 0,6L_m$.

Таким образом, разработаны расчетные схемы для определения формы и размеров радиальных трещин, образующихся при камуфлетном взрыве удлиненных зарядов в монолитном массиве породы и вблизи его поверхности.

Результаты проведенных расчетов позволяют сделать следующие выводы.

Отдельные трещины радиальной системы имеют в плане форму полуовала, поперечные и продольные размеры которого зависят от модельных параметров — размеров начальных трещин и величины их раскрытия, которые, в свою очередь, определяются длиной заряда, радиусом зоны дробления породы, образующейся при взрыве, радиальным смещением упругой среды на границе с раздробленной породой в момент остановки фронта дробления.

При увеличении длины заряда L поперечные размеры трещин стремятся к их асимптотическим значениям L_m , которые соответствуют бесконечно длинному заряду. При этом увеличение размера трещин в торцевом направлении заряда приблизительно равно $0,6L_m$. Выход поперечного размера трещин на асимптотическое значение происходит при $L \geq (6 \div 8)L_m$.

Заглубление удлиненного заряда, взрывающегося вблизи свободной поверхности и обеспечивающего максимальную площадь трещины, близко к продольному размеру трещины камуфлетного заряда в торцевом направлении. Оптимальным является заглубление $\Delta_{opt} \approx 0,6L_m$.

ЛИТЕРАТУРА

1. **Григорян С. С.** Некоторые вопросы математической теории деформирования и разрушения твердых горных пород // Прикл. математика и механика. 1967. Т. 31, вып. 4. С. 643–649.
2. **Родионов В. Н.** Механический эффект подземного взрыва / В. Н. Родионов, В. В. Адушкин, В. Н. Костюченко, В. Н. Николаевский, А. Н. Ромашов, В. М. Цветков. М.: Недра, 1971.
3. **Чедвик П.** Механика глубинных подземных взрывов / П. Чедвик, А. Кокс, Г. Гопкинсон. М.: Мир, 1966.
4. **Шер Е. Н.** Учет динамики при описании разрушения хрупких сред взрывом шнурового заряда // ПМТФ. 1997. Т. 38, № 3. С. 174–183.
5. **Александрова Н. И., Шер Е. Н.** Влияние дилатансии на разрушение горных пород взрывом цилиндрического заряда // Физ.-техн. пробл. разраб. полез. ископаемых. 1999. № 4. С. 75–83.
6. **Crouch S. L.** Boundary element methods in solid mechanics / S. L. Crouch, A. M. Starfield. L.; Boston; Sydney: George Allen and Unwin, 1983.
7. **Михайлов А. М.** Расчет напряжений вокруг трещины // Физ.-техн. пробл. разраб. полез. ископаемых. 2000. № 5. С. 36–42.
8. **Шер Е. Н., Михайлов А. М.** Моделирование роста осесимметричных трещин при взрыве и гидроразрыве вблизи свободной поверхности // Физ.-техн. пробл. разраб. полез. ископаемых. 2008. № 5. С. 53–61.
9. **Шер Е. Н., Михайлов А. М., Черников А. Г.** Оценка размеров зоны хрупкого разрушения при взрыве сосредоточенного заряда вблизи свободной поверхности // Физ.-техн. пробл. разраб. полез. ископаемых. 2011. № 6. С. 35–42.
10. **Peach M., Koehler J. S.** The forces exerted on dislocations and the stress fields produced by them // Phys. Rev. 1950. V. 80, N 3. P. 436–439.